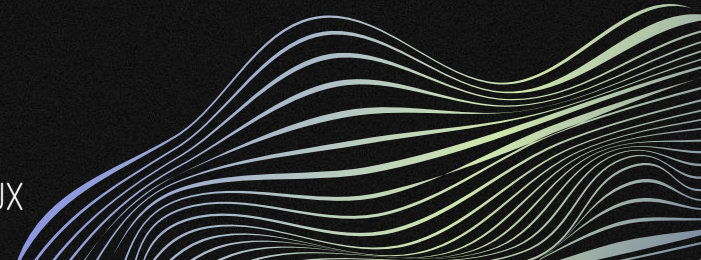


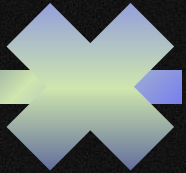
# Débruitage par CNN d'images chiffrées ou secrètes bruitées

REINDERS Erwan - CLÉMENT Ange

Sous la direction de :

William PUECH - Bianca JANSEN van RENSBURG - Nicolas DIBOT - Pauline PUTEAUX





# Sommaire

01

La problématique

02

Techniques  
existantes

03

CNN  
auto-encodeurs

04

Notre technique

05

Améliorations

06

Conclusion

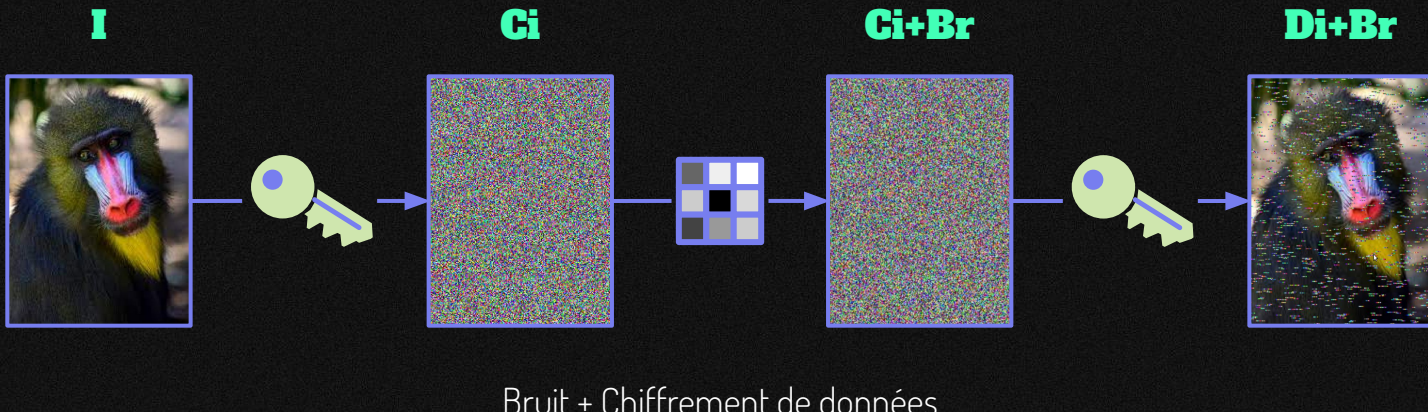
# 01

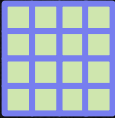
## La problématique

Débruitage par CNN d'images chiffrées ou secrètes bruitées



# La problématique





Blocs de 16 octets



Clefs de 16,24 ou 32 octets

# Chiffrement

## Advanced Encryption Standard



```
procedure Round(State,ExpandedKey[i])
    SubBytes(State);
    ShiftRows(State);
    MixColumns(State);
    AddRoundKey(State,ExpandedKey[i]);
end procedure
```

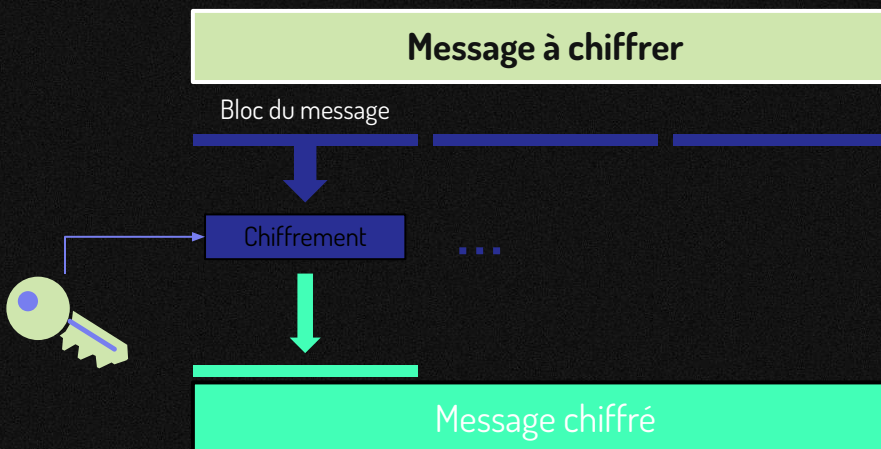
```
procedure Rijndael(State,Cipherkey)
    KeyExpansion(CipherKey,ExpandedKey)
    AddRoundKey(State,ExpandedKey[0])
    for i = 1 to Nr - 1 do
        Round(State,ExpandedKey[i])
    end for
    FinalRound(State,ExpandedKey[Nr])
end procedure
```

```
procedure FinalRound(State,ExpandedKey[Nr])
    SubBytes(State);
    ShiftRows(State);
    AddRoundKey(State,ExpandedKey[Nr]);
end procedure
```

# Chiffrement

## Advanced Encryption Standard

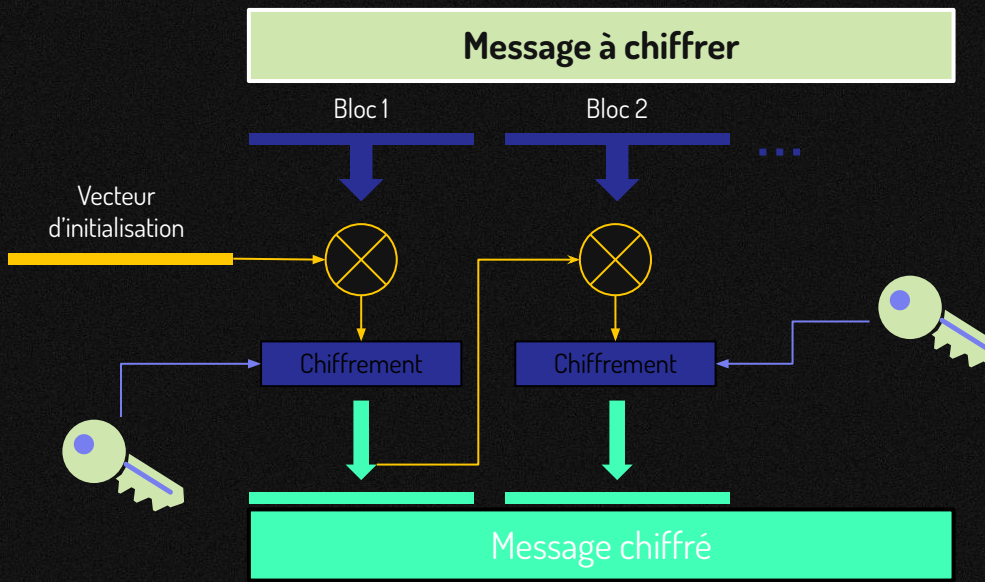
ECB



# Chiffrement

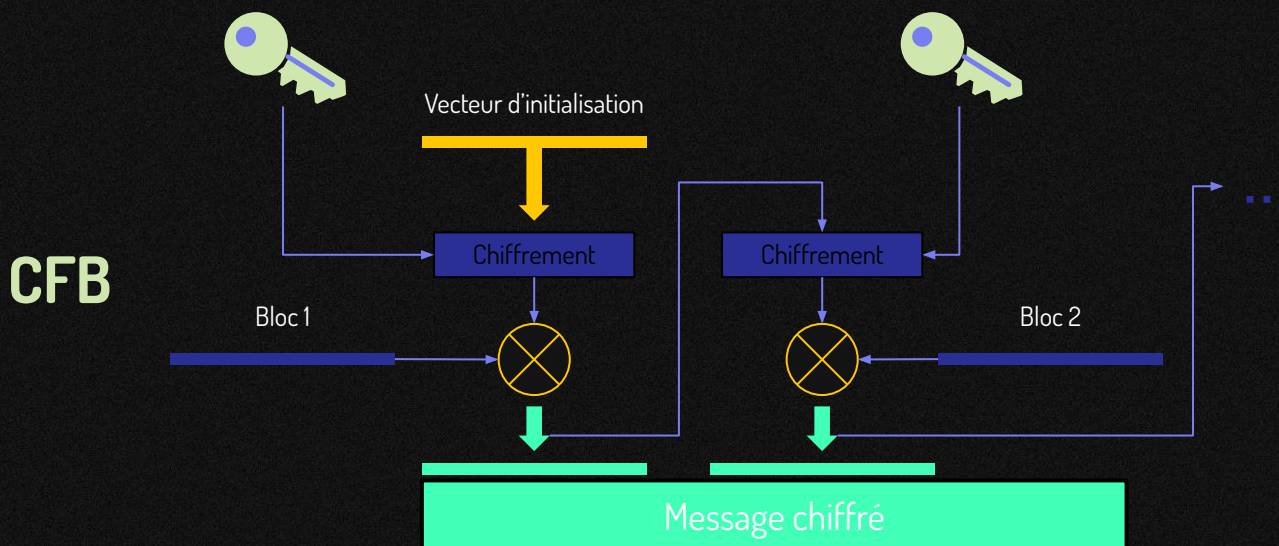
## Advanced Encryption Standard

CBC



# Chiffrement

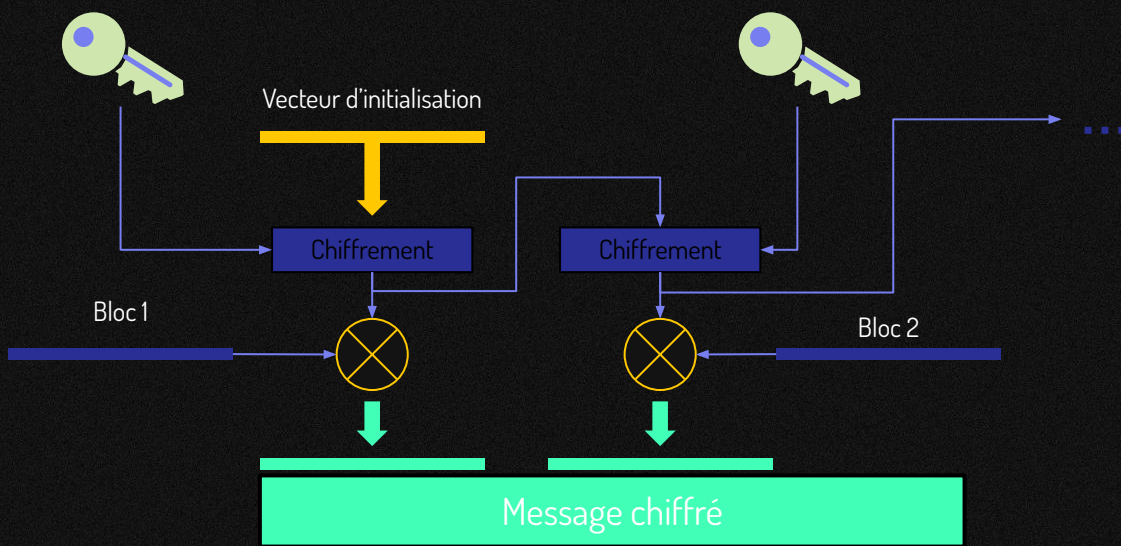
## Advanced Encryption Standard



# Chiffrement

## Advanced Encryption Standard

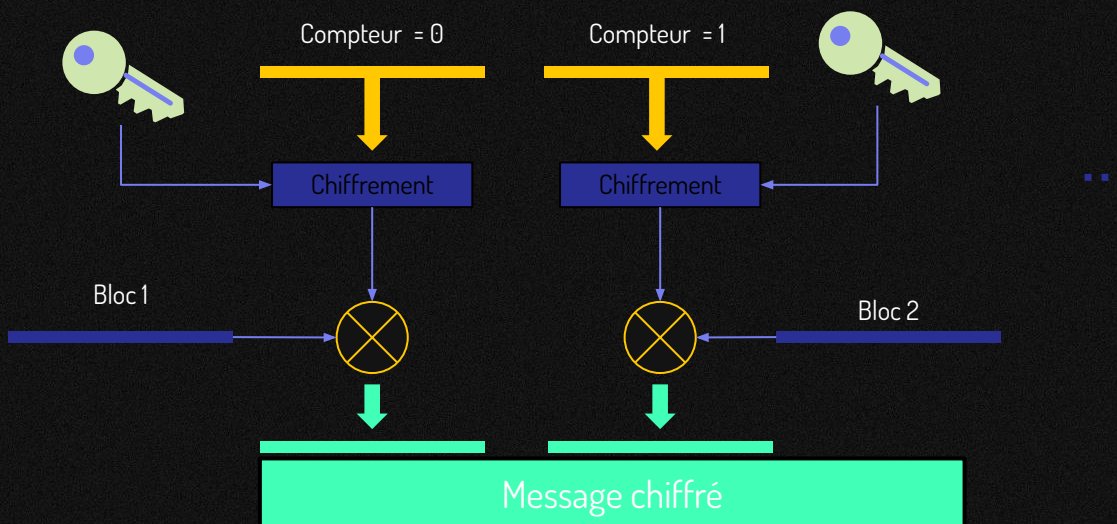
OFB



# Chiffrement

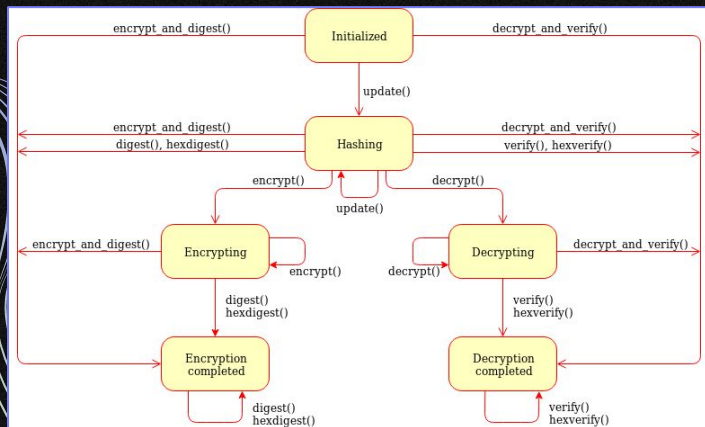
## Advanced Encryption Standard

CTR



# Chiffrement

## Advanced Encryption Standard



<b>CCM</b>	<b>CTR + CBC-MAC</b>
<b>EAX</b>	
<b>GCM</b>	<b>Galois Counter Mode</b>
<b>SIV</b>	<b>Synthetic Initialization Vector</b>
<b>OCB</b>	<b>Offset CodeBook</b>

Machine à état d'un objet de chiffrement

<https://pycryptodome.readthedocs.io/en/latest/src/cipher/aes.html>

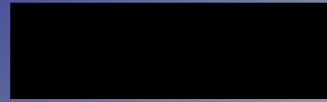
<https://pycryptodome.readthedocs.io/en/latest/>

# Propagation du bruit

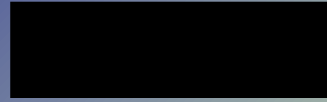
ECB



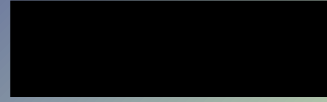
CBC



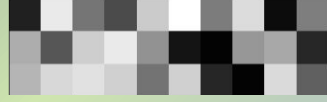
OFB

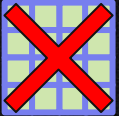


CFB



CTR





Pas de blocs de chiffrement



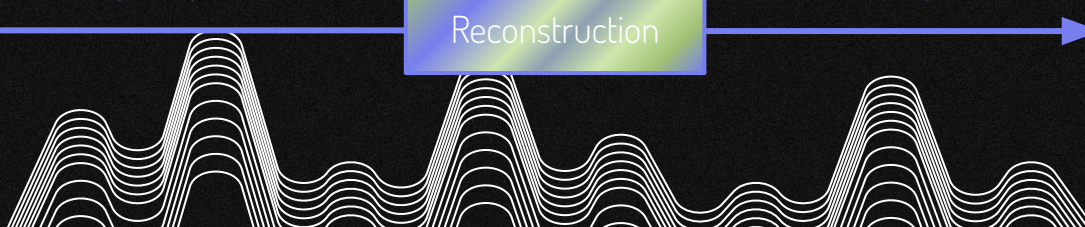
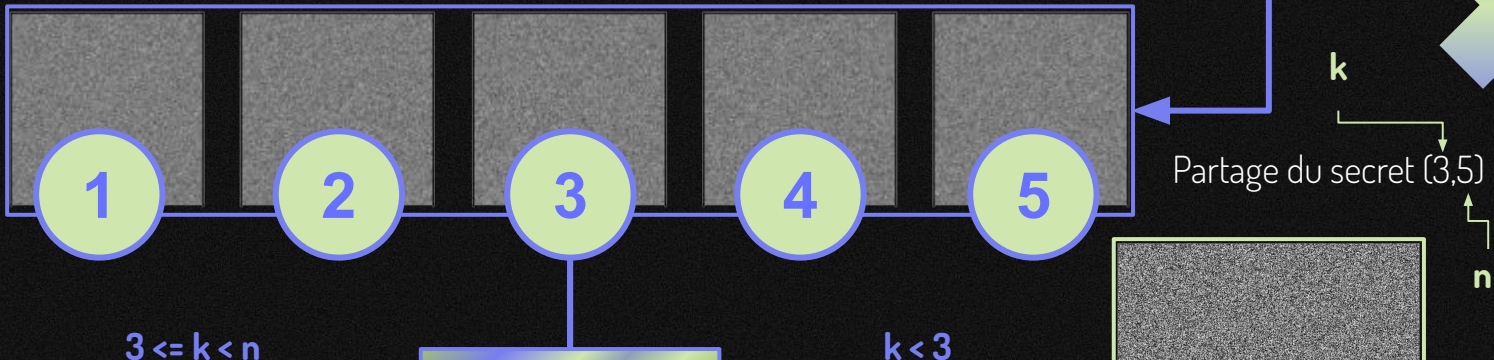
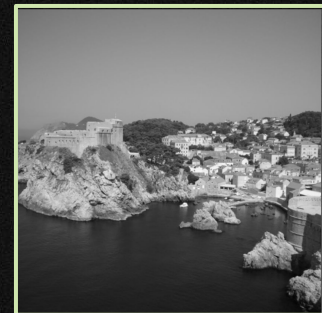
Pas de clefs



Basé sur des parts de secrets

# Chiffrement

## Shamir



# Shamir

$S \in K$

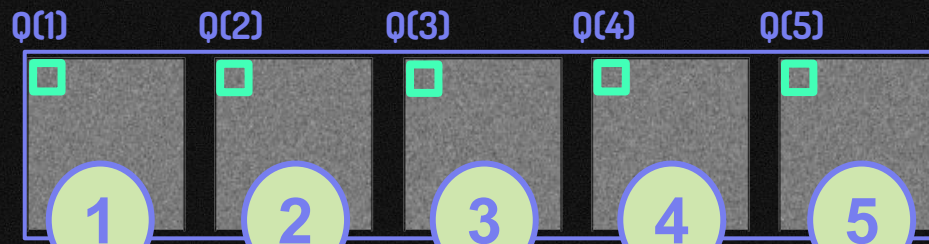


$K$  un champ de valeurs où nos valeurs à partager sont comprises.

On se donne un polynôme  $Q \in K^{k-1}[X]$  pour chacune des valeurs du message à partager :

$$Q(X) = q_0 + q_1 X + q_2 X^2 + \dots + q_{k-1} X^{k-1}$$

Tous les coefficients  $q_n$  sont aléatoires, à l'exception de  $q_0$ , qui vaut  $S$ .

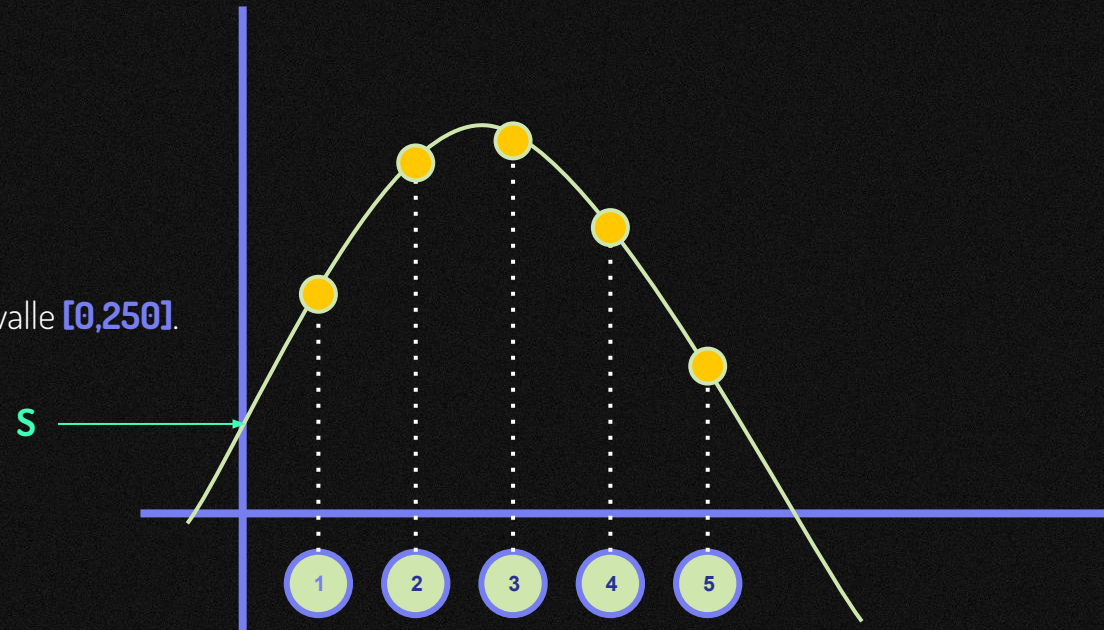


# Shamir

## Interpolation de Lagrange

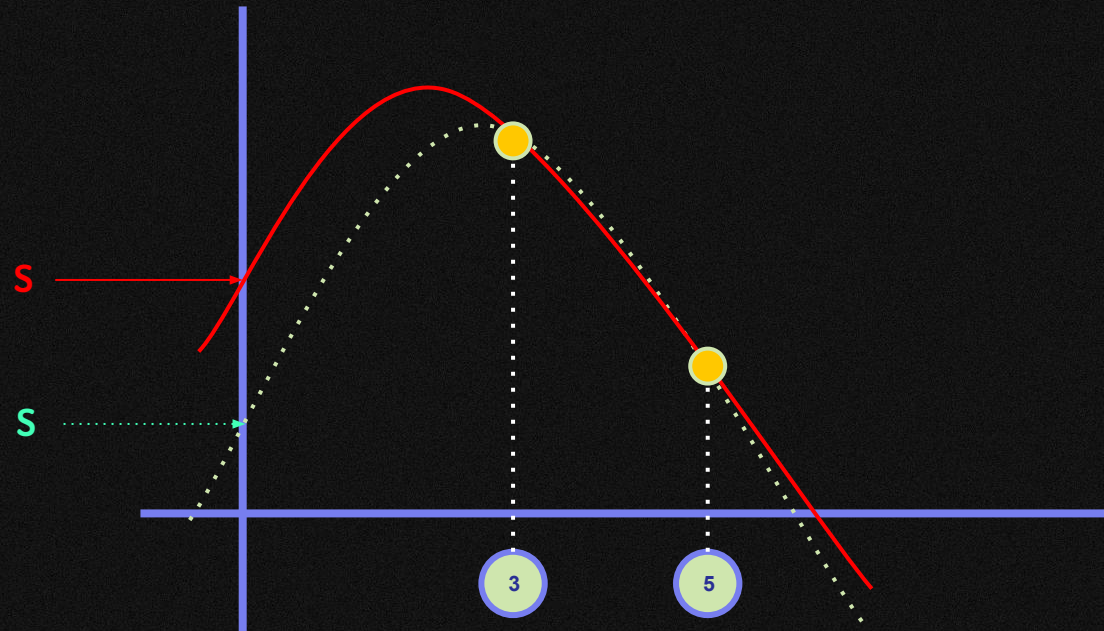
$$Q(X) = \sum_{q=1}^k S_{iq} \prod_{l=1, l \neq q}^k \frac{X - i_l}{i_q - i_l}$$

Les valeurs des pixels sont renvoyées sur l'intervalle **[0,250]**.



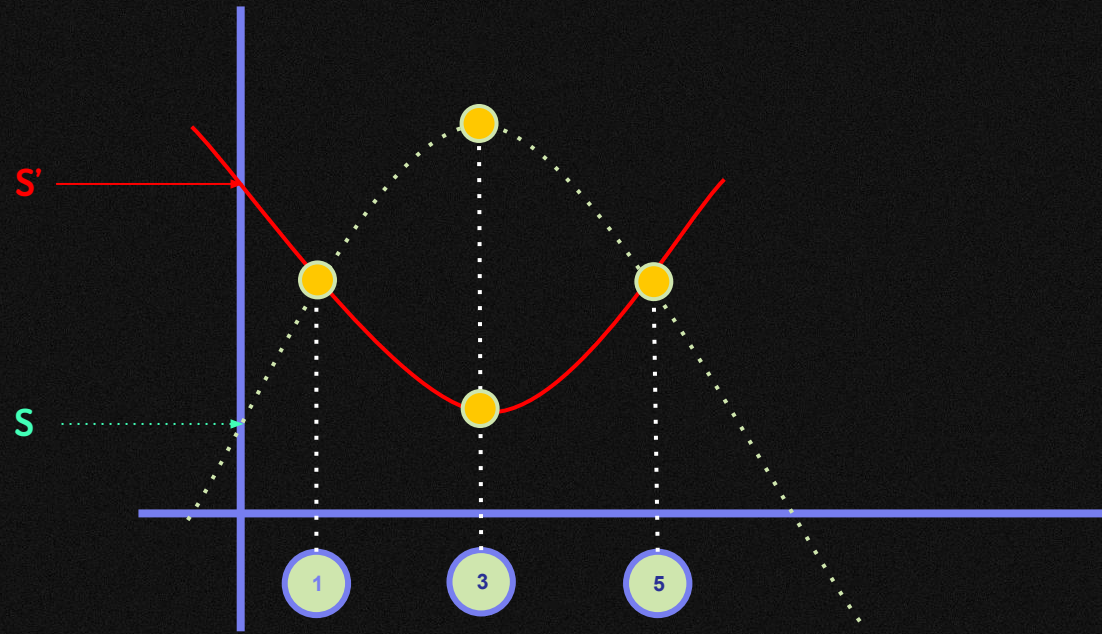
# Shamir

$$Q(X) = \sum_{q=1}^k S_{iq} \prod_{l=1, l \neq q}^k \frac{X - il}{iq - il}$$



# Shamir

$$Q(X) = \sum_{q=1}^k S_{iq} \prod_{l=1, l \neq q}^k \frac{X - il}{iq - il}$$



# 02

## Techniques existantes

Débruiteurs, CNN classifieurs



# CFB puis ECB

Propager le bruit au sein de l'image afin de faciliter sa localisation.

- Chiffrement et déchiffrement par **CFB-ECB**.
- **Segmentation de l'image** en blocs clairs et blocs bruités par utilisation de l'entropie locale de Shannon.
- Deux phases principales :
  - **Initialisation** des états possibles des blocs de pixels (score entre zéro et un, avec un pour bloc en clair).
  - **Correction** par tests combinatoires sur les 129 configurations de bits possibles.

Il devient plus facile de détecter un voisinage proche de deux blocs bruité qu'un seul pixel bruité.

$$b_{enc}(i) = \mathcal{E}_K(\mathcal{E}_K(b_{enc}(i-1)) \oplus b_{clear}(i)).$$

$$b_{clear}(i) = \mathcal{D}_K(\mathcal{E}_K(b_{enc}(i-1)) \oplus b_{enc}(i))$$

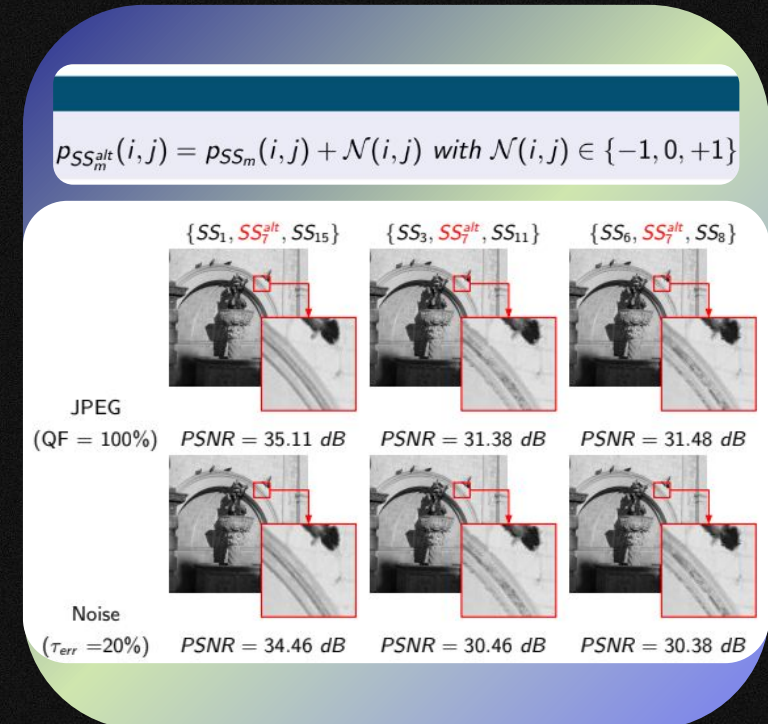
Value	Description	Correction
0	“pixel block considered as clear”	complete
1	“pixel block considered as probably incorrectly decrypted pixel block due to noise spreading from the previous pixel block during decryption”	in progress
2	“pixel block considered as probably incorrectly decrypted pixel block due to noise corruption during transmission/storage or noise spreading from the previous pixel block during decryption”	to correct later

# Correction de parts de secret bruitées

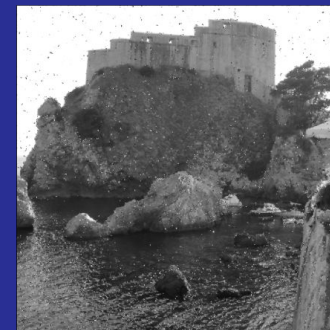
Débruitage de données chiffrées à l'aide de techniques dites de **partage de secrets par la méthode de Shamir**.

- **Application concrète** liée à des compressions avec perte.
- Étant donné un **bruit spécifique** de type poivre et sel, on applique un écart avec une valeur médiane pour déterminer la vraie valeur.

Mise en application concrète d'un scénario de débruitage sur des données chiffrées par partage de secret.



# Correction de parts de secret bruitées



PSNR avec l'originale : 15 dB  
UACI avec l'originale : 6.67 %  
NPCR avec l'originale : 32.47 %

PSNR avec l'originale : 25.7 dB  
UACI avec l'originale : 1.74 %  
NPCR avec l'originale : 23.7 %

# OpenCV Denoising

Méthode de débruitage utilisée dans un cas plus général de débruitage d'images.

- Se base sur de la **reconnaissance de patterns** sur une image.
- Utilisée principalement pour du débruitage de **vidéos**.

Donne des résultats imparfaits pour de la génération d'images débruitées.



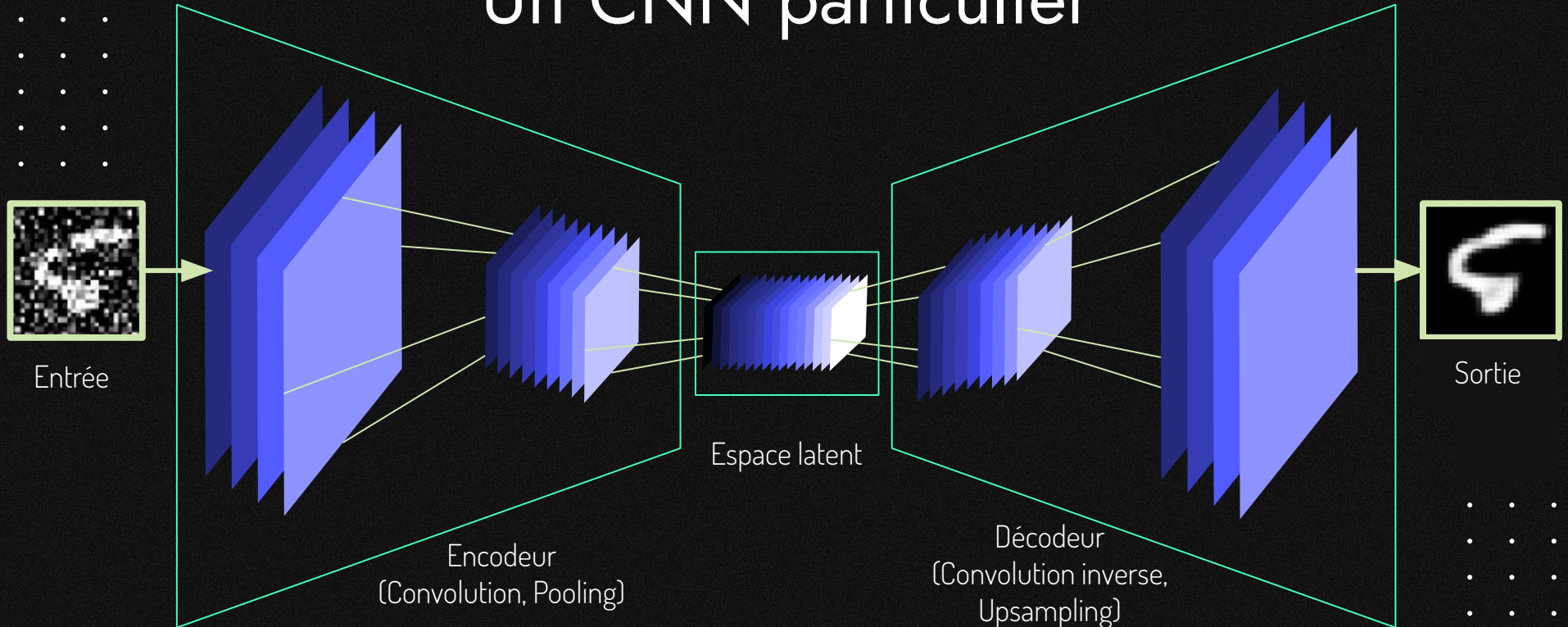
# 03

# CNN auto-encodeurs

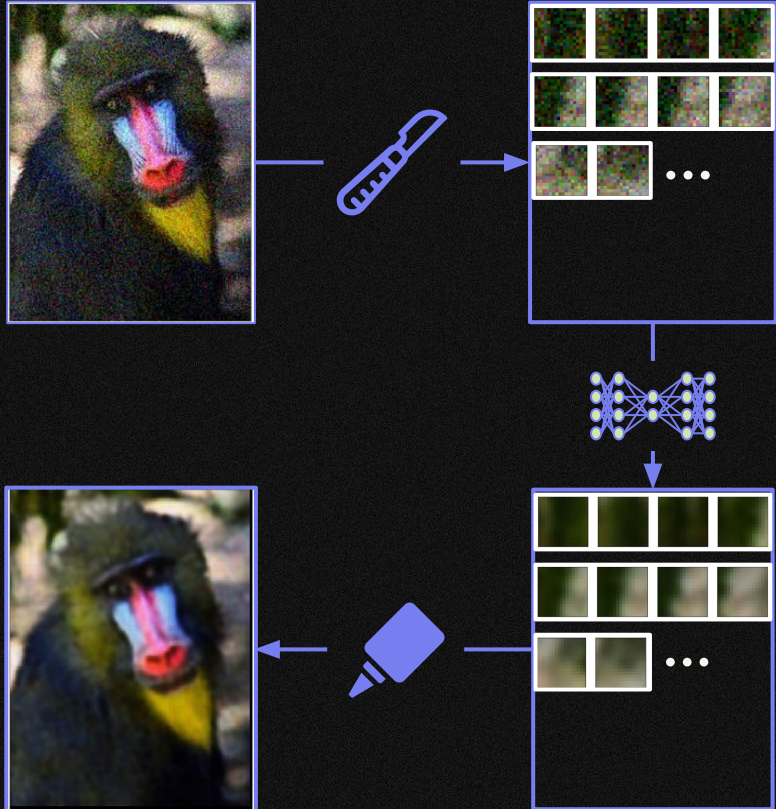
Première approche, ignore le chiffrement



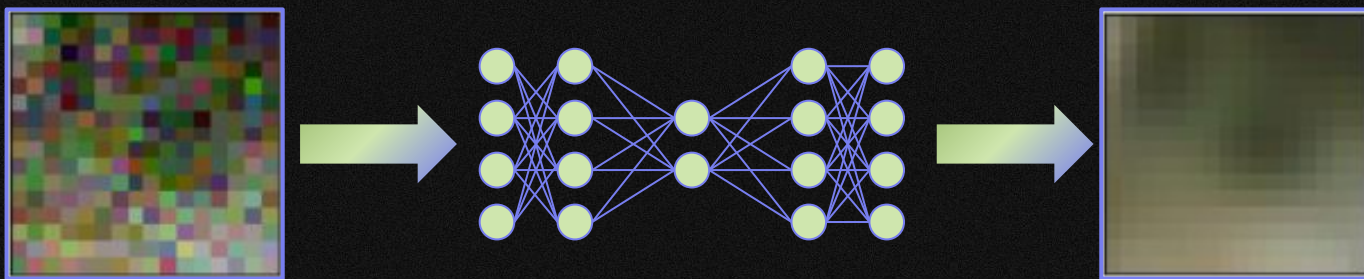
# Un CNN particulier



# Idée de débruitage par CNN



# CNN Autoencodeurs



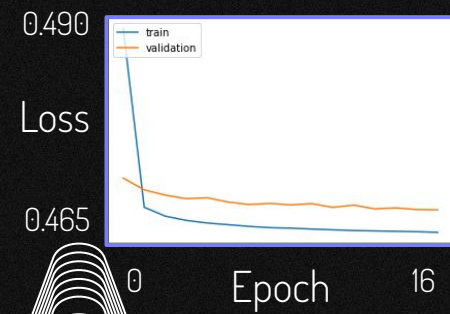
Total : 43432 blocs (16x16)

Train : 34890 (~80%)

Test : 8542 (~20%)

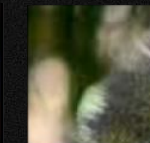
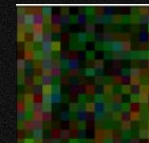
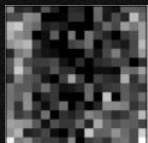
Epoch : 16

Batch\_size : 128

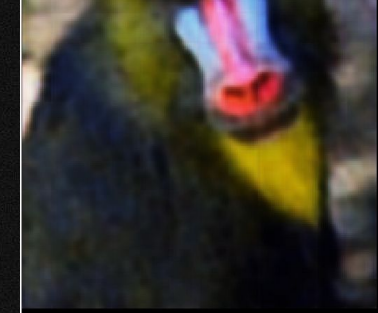
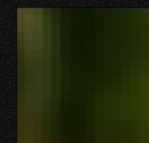
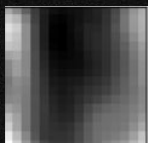


# Types d'autoencodeurs testés

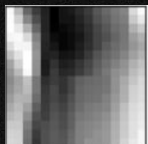
Bruité



Débruité



Vérité de  
terrain



En niveau de gris



En couleurs

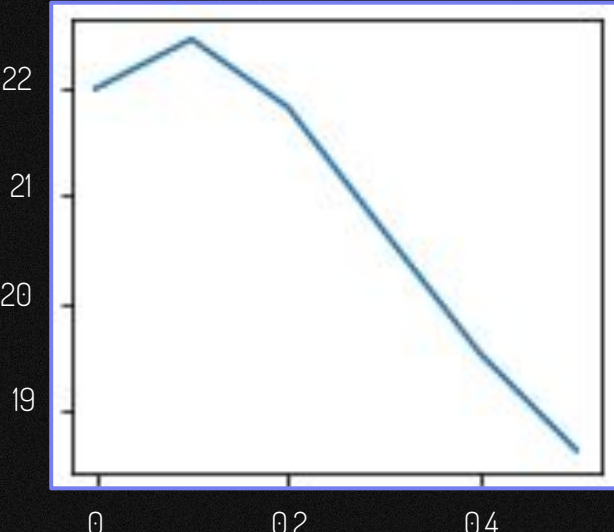


De grands blocs

# Evaluation

Courbe du PSNR en fonction du bruit de l'image “14.pgm” avec la méthode de blocs en niveau de gris

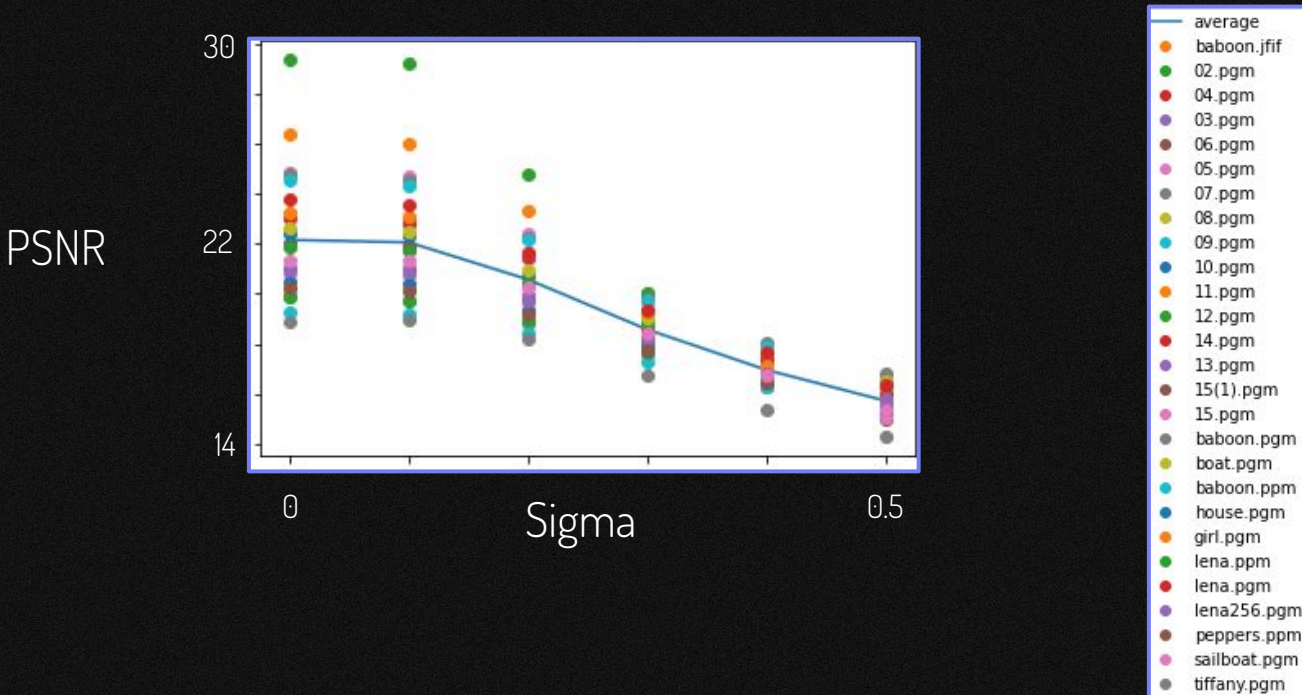
PSNR



14.pgm

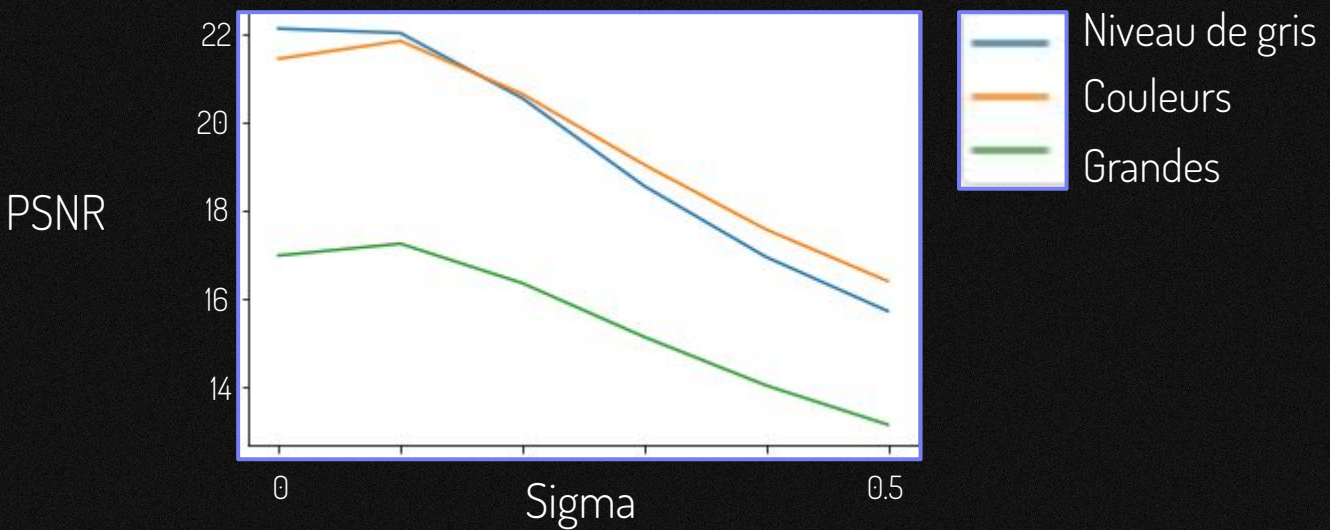
# Evaluation

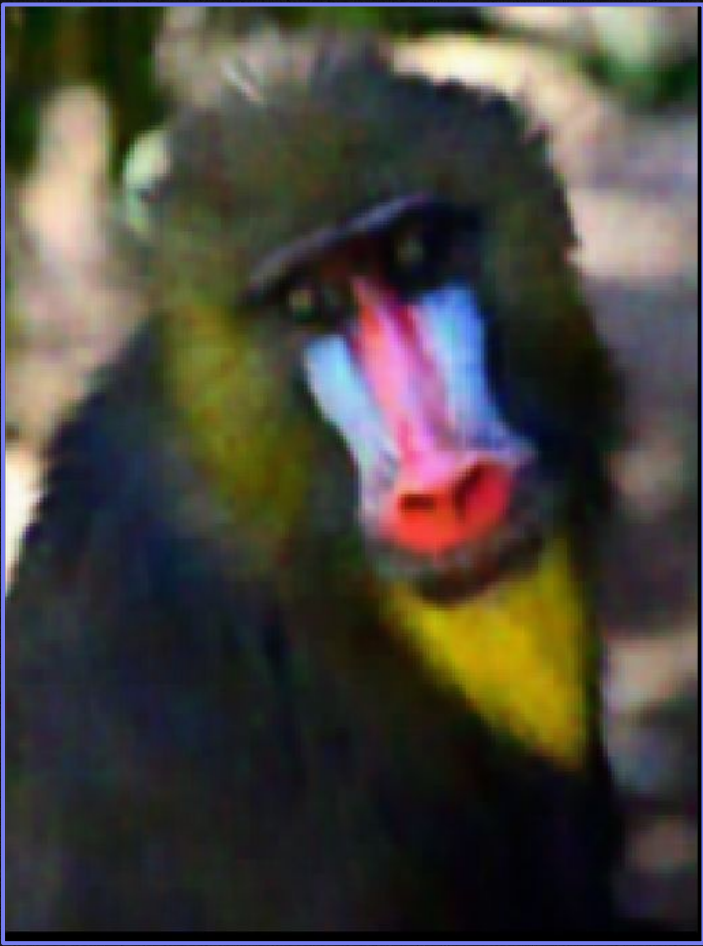
Courbe du PSNR en fonction du bruit de toutes les images avec la méthode de blocs en niveau de gris

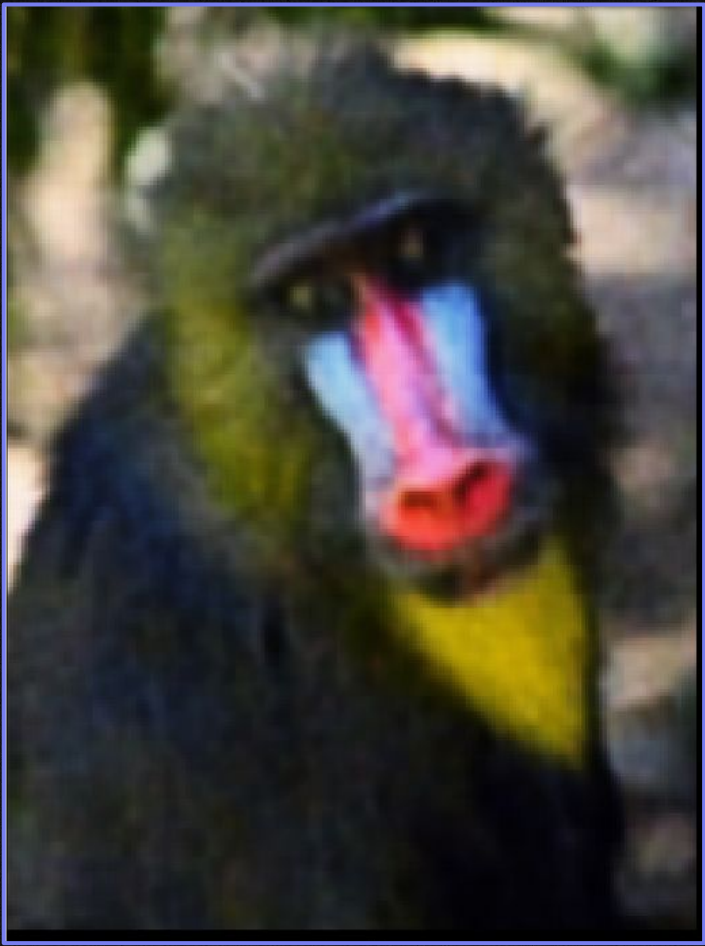


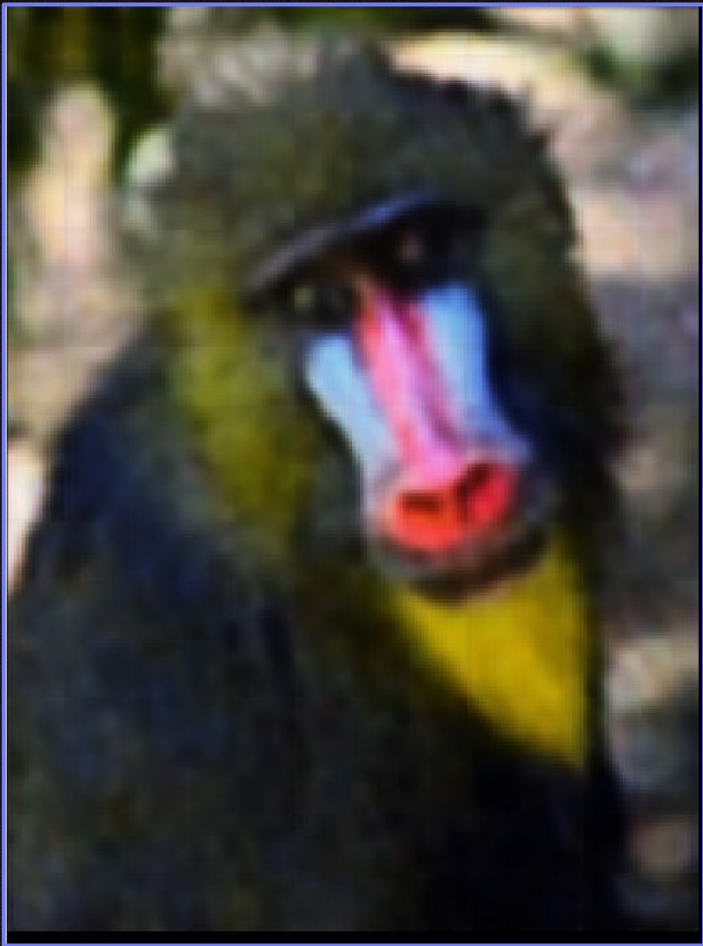
# Evaluation

Courbe du PSNR en fonction du bruit de la moyenne de toutes les images avec les trois méthodes

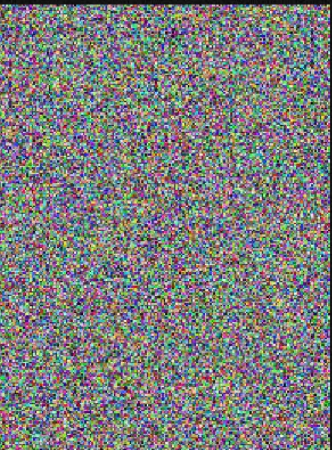








CBC



PSNR avec l'originale: 37.80 dB  
UACI avec l'originale : 5.39 %  
NPCR avec l'originale : 10.71 %



PSNR avec l'originale: 22.43 dB  
UACI avec l'originale : 5.04 %  
NPCR avec l'originale : 96.48 %

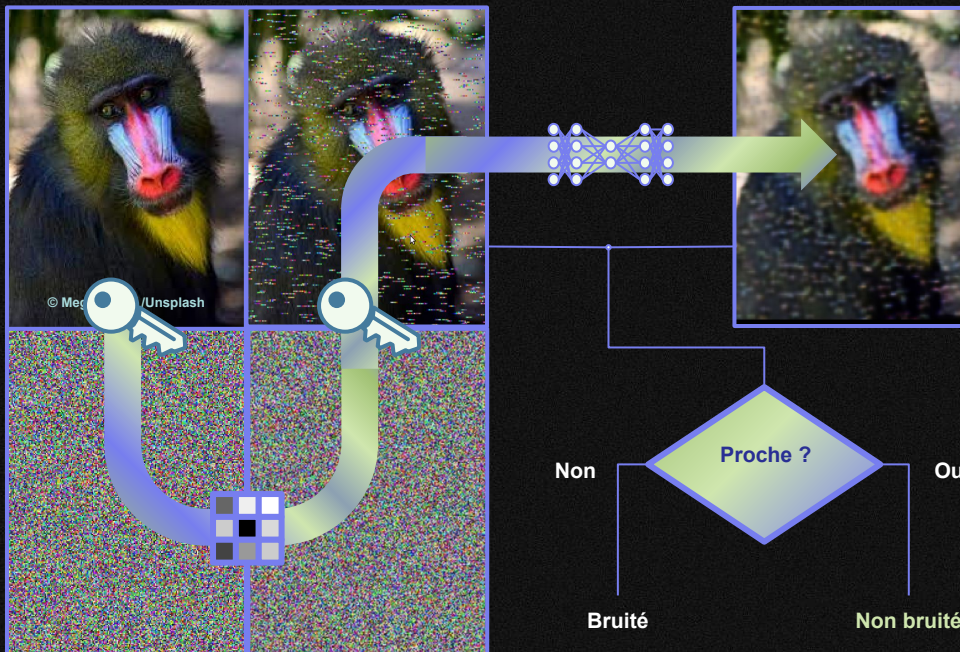
# 04

# Notre technique

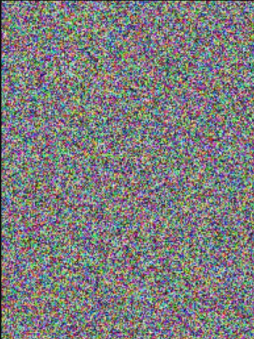
Débruitage sans flou, utilisation de l'image chiffrée



# Détection des erreurs



# Résultats



PSNR avec l'originale : 49.331 dB  
UACI avec l'originale : 0.397%  
NPCR avec l'originale : 0.722 %

PSNR : 38.23 dB  
UACI : 4.66 %  
NPCR : 9.32%

Bruit : 1 bloc sur 10 de +-1

ECB

# Résultats



PSNR avec l'originale : 49.39 dB  
UACI avec l'originale : 0.426 %  
NPCR avec l'originale : 0.71 %

PSNR : 37.9 dB  
UACI : 0.42 %  
NPCR : 0.71 %

Bruit : 1 bloc sur 10 de +-1

CBC

# Résultats



PSNR avec l'originale : 50.19 dB  
UACI avec l'originale : 0.24 %  
NPCR avec l'originale : 0.48 %

PSNR : 47.33 dB  
UACI : 0.63 %  
NPCR : 0.93%

PSNR : 31.33 dB  
UACI : 50.85 %  
NPCR : 93.59%

OFB

# 05

# Améliorations

Pour la suite ...



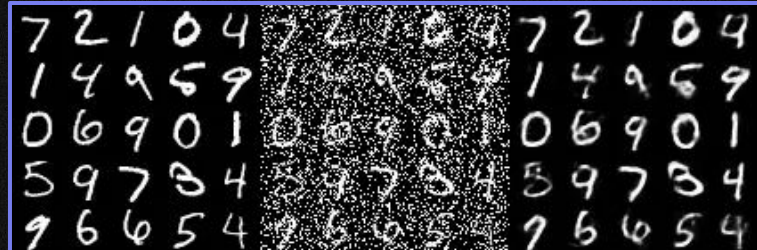
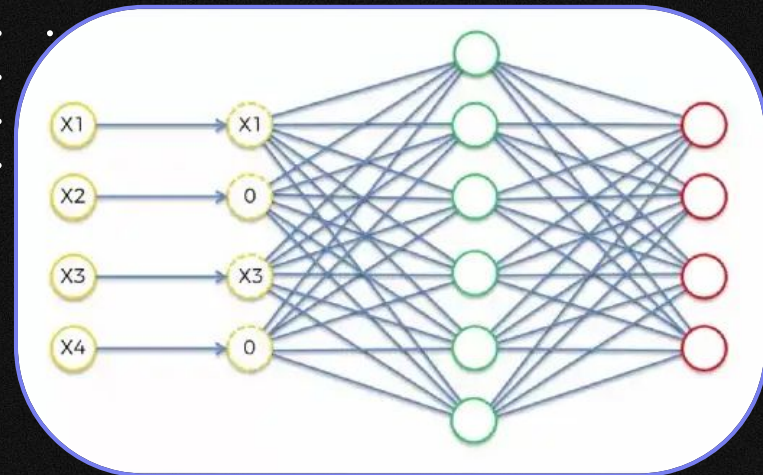
# Amélioration de l'auto-encodeur

Améliorations possibles

- Plus d'entraînement, avec plus d'images
- Essayer d'autres méthodes de coût

Denoising Auto Encoder : DAE

- Plus adapté au débruitage
- Plus long et complexe à entraîner



<https://towardsdatascience.com/denoising-autoencoders-explained-dbb82467fc2>

# Autres pistes pour le chiffrement

Chiffrement **Homomorphique**

Chiffrement par **génération chaotique**

Arnold's Cat Map

Baker's Map

Two-Dimensional Logistic Chaotic Map

**Corps Gallois** pour le partage de secrets

M. Preishuber, T. Hütter, S. Katzenbeisser and A. Uhl, "**Depreciating Motivation and Empirical Security Analysis of Chaos-Based Image and Video Encryption**," in IEEE Transactions on Information Forensics and Security, vol. 13, no. 9, pp. 2137-2150, Sept. 2018, doi: 10.1109/TIFS.2018.2812080.

Naveed Islam, Zafar Shahid, William Puech. "**Denoising and error correction in noisy AES-encrypted images using statistical measures**," Signal Processing: Image Communication, Volume 41, 2016, Pages 15-27, ISSN 0923-5965,

# 06

# Conclusion

La conclusion

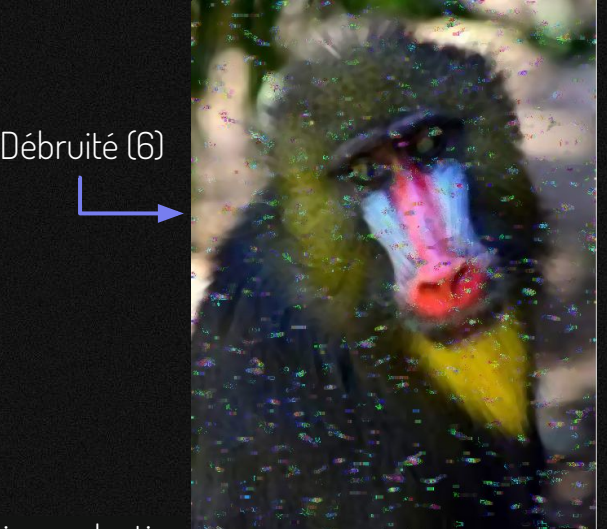




Original

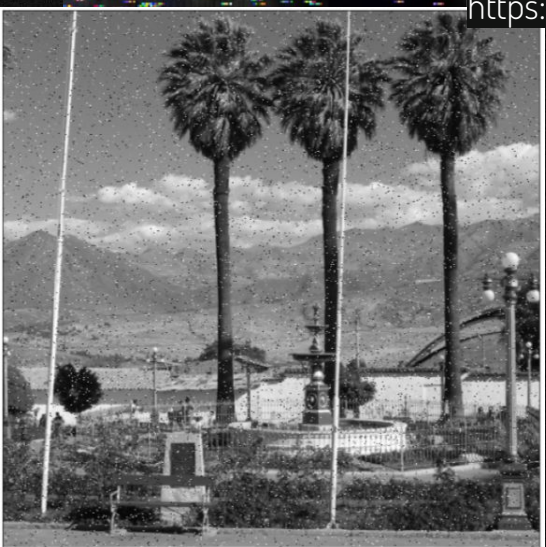


Débruité (3)



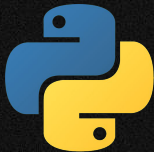
Débruité (6)

<https://online-photo-converter.com/image-noise-reduction>



# Fin

Des questions ?



CREDITS: This presentation template was created **by Slidesgo**, including icons **by Flaticon** and infographics & images **by Freepik**



© Meg Jerrard /Unsplash